

2. Կարգավորիչն օժտված է արագ գործողության ընդունակությամբ և դրանով էլ կրծատում է էլեկտրաէներգիայի կորուստները տրանսֆորմատորում և բարձրացնում տեղակայումի ՀՕԴ:

3. Էլեկտրոդի տեղափոխությունը կատարվում է զանազան արագությամբ, աղեղի նախօրոք տըրգած հոսանքի և լարման, կամ նրանցից մեկի շեղմանը համեմատական կերպով, առանց գերակարգավորման:

4. Հնարավոր է ապահովել էլեկտրոդի բարձ-

րացումն ու իշեցումը ձեռքով կարգավորելու միջոցով:

5. Կարգավորման սխեման պարզ է, պարունակում է փոքր քանակությամբ էլեմենտներ, և մշտական հսկողության կարիք չունի:

Խմբագործական կողմից: Հայկական ՍՍՌ ժողովախոսչի Ա. Մ. Կիրովի անվան գործարանի կարծիքի հիման վրա որոշում է ընդունվել առաջարկվող կարգավորիչը փորձնական նմուշի ձևով 1958 թ. արմատավորել այդ նույն գործարանի կարրիդային վառարաններից մեկում:

Նոր տեխնիկա և պրոցեսիվ տեխնոլոգիա

ԲԵԿՈՒՆ ՆՅՈՒԹԵՐԻ ԿՏՐՄԱՆ ԺԱՄԱՆԱԿ ՏԱՇԵՂԻ ԳՈՅԱՑՄԱՆ ՈՐՈՇ ԱՌԱՆՁՆԱՀԱՏԿՈՒԹՅՈՒՆՆԵՐԸ

Ի. ՏԵՐ-ԱԶԱՐՅԵՎ,

Տեխն. գիտ. թեկնածու

Ինչպես հայտնի է, կտրման ճիգը կապված է կտրման հատվածքի հետ որոշակի կախումով՝

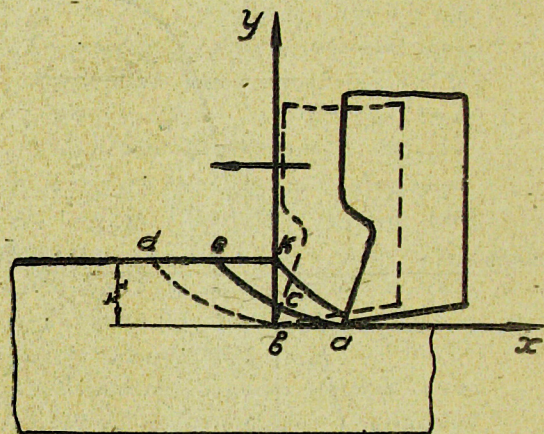
ու վերլուծությունը հեշտացնում են այդ հարցի լուծումը:

$P=pts$ կգ,

որտեղ t -ն և s -ը խորությունն ու մատուցումն են, ρ -ն՝ տեսակարար ճիգը կգ/մմ²-ով:

Բազմաթիվ էքսպերիմենտալ տվյալների միշտով պարզվել է, որ մետաղների, բնական քարե նյութերի և ապարների կտրման ժամանակ տեսակարար ճիգի մեծությունը խորության ու մատուցման փոփոխության հետ հաստատում չի մնում: Հանրահայտ է, որ մատուցման փոփոխության հետ փոփոխվում են ինչպես կտրման, այնպես էլ տեսակարար ճիգերը: Այդ դեպքում ճիգերի աճման ինտենսիվությունը ետք է մնում մատուցման աճումից:

Երևույթների բարդությունը և կտրման պրոցեսին մասնակցող գործոնների մեծ թիվը դըքվարացնում էին այդ հարցի տեսական լուծումը: Մինչեւ բեկուն նյութերի և, մասնավորապես, բնական քարերի կտրման պրոցեսի բննարկումն



Նկ.1.

1-ին նկարում բերված է լավ սրված կտրիչի աշխատանքի սխեման՝ ազատ կտրման պայմաններում:

Կարիշի տեղափոխման պրոցեսում այ տարրը պոկվում է առ պոկվածքի կորագի երկայնությամբ։ Հետագա տեղափոխման ժամանակ այ ժավալում պարփակված ապարի մի մասը քայրավում է։ Քայրայումը շարունակվում է այնքան ժամանակ, մինչև եւ շափը հասնի մի մեծության, որն անհրաժեշտ է հետևյալ պոկվածքն իրագործելու համար և այլն։

Այսպիսով, կտրման պրոցեսը իրենից ներկայացնում է պոկման և քայրայման պարբերական հերթագյության պրոցես։ Ըստ որում, եթե մլշակվող նյութը լիներ միասեռ և իզոտրոպացին, իսկ կտրող գործիքը մշակման պրոցեսում պահպաներ սկզբնական ուրվագծերի անփոփոխությունը, կապահովեր նաև պոկվածքների գոյացման պայմանների նույնությունը (կտրման տեղամասում, որ համապատասխանում է մեկ պոկվածքի և քայրայման՝ մինչև հաջորդ պոկվածքը)։ Սակայն գործնականում, երբ հնարավոր չէ պահպանել կտրման անփոփոխ պայմանները, տեղի է ունենում իդեալական սխեմայի այս կամ այն խախտումը։

Ճիգը, ինչպես այդ երկում է տաշեղի գոյացման քերված սխեմայից, հաստատում մեծություն չէ։ Ամենամեծ ճիգը կլինի պոկման պահին, իսկ ամենափոքրը՝ պոկման հաջորդ պահին։ Այսպիսով, ճիգը ինչ-որ նվազագույն արժեքից աճում է մինչև մի մեծություն, որի ժամանակ կատարվում է պոկումը։

Պոկման գծի երկարությունը նշանակելով լուսական պոկման ճիգի մեծությունը՝

$$P_{\max} = L \tau B \text{ կգ,} \quad (1)$$

որտեղ τ -ն կոտրվածքի մակերևույթի վրա եղած լարումներն են, որոնք հանգեցնում են քայրայման։ Ե-ն կտրման լայնությունն է։

Տաշեղի գոյացման պրոցեսի ընդհանուր պատկերացման հիման վրա, պոկման գիծը ընդունելով որպես կոր, այն պատկերացնենք պոլինոմի ձևով՝

$$y = ax + bx^2$$

Այն ժամանակ պոկման գծի երկարությունը հավասար կլինի

$$L = \int_0^x \sqrt{1+(a+2bx)^2} \cdot dx$$

որը հետևյալ լուծումն է տալիս՝

$$L = \frac{1}{2b} \left\{ \frac{a+2bx}{2} \sqrt{1+(a+2bx)^2} + \right. \\ \left. + \frac{1}{2} \ln \left[a+2bx \right] + \sqrt{1+(a+2bx)^2} \right\} \quad (2)$$

ա-ին և բ-ին կամայական արժեքներ տալով, կարելի է համոզվել, որ ստացված լուծումը բավարար ճշտությամբ (աղյուսակ 1) կարող է պատկերացվել հետևյալ ձեր հավասարումով՝

$$L = ky^a \quad (3)$$

Աղյուսակ 1

Սխալների 0_{0-2} ա-ի և բ-ի տարրեր արժեքների գեպքում

$a=1, b=1$	$a=1, b=2$	$a=2, b=2$	$a=1, b=0,5$
y	$\frac{\sqrt{a+b}}{a+b}$	$\frac{\sqrt{a+b}}{a+b}$	$\frac{\sqrt{a+b}}{a+b}$
0,75	-1,2	1	-2,7
2,0	+6,5	3	+5,5
3,75	+1,94	6	+3,4
6	-2,65	10	-3,2
12	+0,35	21	-1,6

L-ի արժեքը (3) տեղադրելով 1-ին ֆորմուլայի մեջ, կստանանք՝

$$P_{\max} = kty^a B: \quad (4)$$

Բայց քանի որ P ճիգը փաստորեն փոփոխվում է 0 մինչև P_{\max} ապա որոշենք միջին ճիգը, այս տեղամասը պայմանականորեն ընդունելով որպես ուղիղ գիծ՝

$$P_{\text{ср}} = \frac{P_{\max}}{2}: \quad (5)$$

Կտրման տեղամասում միջին տեսակարար ճիգը կլինի՝

$$P = \frac{P_{\text{ср}}}{2 \cdot S B} = \frac{kty^a B}{2 \cdot S \cdot B} = \frac{kty^a}{2S}, \quad (6)$$

որտեղ SB-ն՝ կտրման հատվածքն է մմ²-ով։ Բայց, քանի որ մեր գեպքում յ-ը մատուցման մեծությունն է, ապա 6-րդ ֆորմուլայում տեղադրելով $y=S$, P -ի համար կստանանք հետևյալ վերջնական արտահայտությունը՝

$$P = \frac{k\tau S^a}{2S} = \frac{k\tau}{2S^{1-a}} = \frac{C_1}{S^a}. \quad (7)$$

$$C_1 = \frac{k\tau}{2}, \quad x_1 = 1 - a$$

Հավասարման (3) վերլուծումից կարելի է պարզել, որ ամեծությունը փոքր է 1-ից: Դրանից հետևում է, որ $x=1-a$ մեծությունը նույնպես միավորից փոքր է: այդ հաստատվում է: բազմաթիվ էքսպերիմենտալ տվյալներով [1,2,3]:

Վերևում բերված նկատառումները հաստատելու համար, որոնք կապված են պոկման առաջնալու պատկերացման հետ, դիմենք Կ. Ա. Մընչոյանի էքսպերիմենտալ տվյալներին [4]:

Զ-րդ նկարում բերված են պոկման առանձին տարրերը, ֆելզիտային տուֆի ազատ կտրման ժամանակ, երբ $B=5$ մմ և $S=3$ մմ:



Նկ. 2.

Էքսպերիմենտալ տվյալների մեր կողմից կատարված մշակումը ցույց է տալիս, որ պոկման գծի հավասարումը ընդհանուր ձևով կարող է բավարար ճշտությամբ պատկերացվել $y=ax + bx^2$ ձևով, որ մենք կատարել ենք վերևում՝ ընդհանուր դատողությունների հիման վրա:

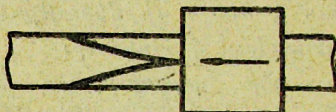
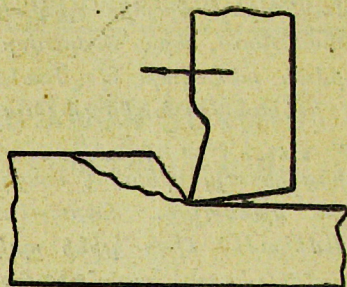
Աղյուսակ 2-ում բերված են սխալների տվյալները պոկման հավասարումը նշված ձևով պատկերացնելու դեպքում:

Փորձերի կոնկրետ պայմաններում բոլոր 4 սերիաների համար պոկման գծի հավասարումը կլինի՝ $y=-0.586x+0.028x^2$:

Հարկավոր է նկատի ունենալ, որ B և S (լայնության և հաստության) մեծ հարաբերությունների դեպքում, կոտրվածքը կարող է իրականացվել կողքի վրա, ինչպես այդ ցույց է տրված 3-րդ նկարում:

Աղյուսակ	Ականաների օրոք			
	փորձերի I սերիա	փորձերի II սերիա	փորձերի III սերիա	փորձերի IV սերիա
2	-4,5	+7,3	-3,3	-6,0
4	-2,2	0	0	0
10	+8,7	+6,7	-4,0	-3,3
12	+5,2	-	-	-
15	-7,8	-9,3	-8,3	0
20	0	0	0	0
22	-	-	+4,2	-
25	-	-6,25	-6,6	-

Կոտրվածքի իրականացմանը հանգեցնող լարումները պարզելու համար քննարկենք Սկոշիի և Ֆուկուիի կողմից մինչկտրիչային գոտում բերվելու լույսի մեջ իրագործվող լարված վիճակի ուսումնասիրության տվյալները [5]:

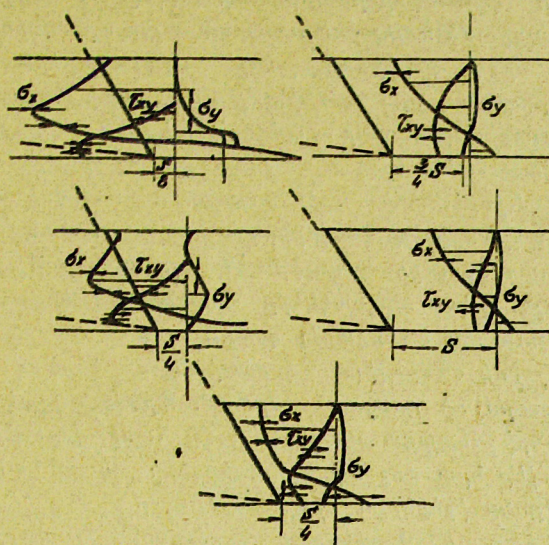


Նկ. 3.

Կտրիչի գագաթից զանազան ձևով հեռացած հատվածներում լարումների բաշխումը ցույց է տրված 4-րդ նկարում:

Լարումների բերված սխեմաներից երեսում է, որ կտրիչի գագաթի մոտ, շարժման ուղղության երկայնությամբ, տեղի ունի մեծ կտրող լարում, որը գագաթից հեռանալով և հանվող շերտի արտաքին մակերեսութիւն անցնելով նվազում է: Բացի կոտրող τ_{xy} և սղմող τ_y լարումներից, տեղի է ունենում τ_y ձգող ճիգը, որն իր մեծությամբ զգալի է կտրիչի գագաթին մոտ և նրա շարժմանն ուղղահայաց ուղղված կտրվածքում: Այսիսով, կոտրվածքի պրոցեսը հանդիսանում է կոտրող և ձգող լարումների գործողության ար-

դրունքը, որոնց մեծությունը իր ամենամեծ արժեքն ունի կտրիչի դագաթի մոտ, լարումների կենտրոնացման հետևանքով:

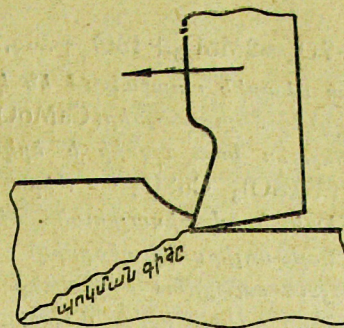


ԴԼ. 4.

Տաշեղի գոյացման պրոցեսի անմիջական դիտումները ցույց են տալիս, որ կոտրվածք առաջանալու դեպքում սկզբնական պահին կտրիչի դագաթի մոտ առաջանում է ճեղքվածք, և կտրիչի հետագա անդամի մասնակ էլեմենտը կարծիք սկսում է պտտվել այն գոտու շուրջը, որտեղ ճեղքվածքի գոյացումը դեռ չի ավարտվել:

Էլեմենտների պոկման սխեմայի քննարկումը, հատկապես պրոցեսի վերջում (նկ. 5), հանգեցնում է այն եղանակացության, որ պրոցեսն ավելի զայտում է σ_y նորմալ ձգման լարումների, քան τ_{xy} կոտրող լարումների նկատմամբ:

Այն պայմանները, որոնց գեպքում ձգող լարումները հարաբերականորեն մեծանում են, կապված են և առջևի անկյան մեծացման հետ: Հետեւապես, էներգատարության տեսակետից



Նկ. 5.

կտրման պրոցեսը պետք է իրականացնել կը տրող գործիքի առջևի անկյան մաքսիմալ մեծ արժեքներով:

Գ. Բ. Ա. Կ. Ա. Ռ Յ Յ Ո Ւ Խ Ո Ւ Խ

1. Тер-Азарьев И. А., Роль подачи при резании естественных камней. Изв. АН Арм. ССР, т. IX, № 2, 1956.
2. Тер-Азарьев И. А., Влияние формы контакта режущей кромки на усилия при резании камня. Изв. АН Арм. ССР, т. X, № 2, 1957 (серия технических наук).
3. Акопов Р. В., Динамика процесса резания камня в зависимости от геометрии инструмента. Изв. АН Арм. ССР, т. XI, № 1, 1958 (серия технических наук).
4. Миджоян К. А., Отчет ЛОК Института стройматериалов и сооружений АН Арм. ССР за 1952 г.
5. Кузнецов В. Д., Физика твердого тела. Т. III, Томск, 1954.

Ա.ՄՈՆԵՈՒՄԻ ՄՈԼԻԲԴԱՏԻ ԱՐՏԱԴՐՄԱՆ ԺԱՄԱՆԱԿ ՍՏԱՑՎԱԾ ՄՈԼԻԲԴԵՆ ՊԱՐՈՒՆԱԿՈՂ ՆՍՏՎԱԾՔՆԵՐԻ ՎԵՐԱՄՇԱԿՄԱՆ ԹԹՎԱՅԻՆ ԵԼԱՆԱԿԸ

Գ. ՀԱՅՐԱՊԵՏՅԱՆ

Հայկ. ՍՍՌ ԳԱ Երկրաբանական ինստիտուտի ավագ ինժեներ

Ամոնիումի մոլիբդատի արտադրությունը ընդգրկում է տեխնիկական մոլիբդենային անհիդրիդի ստացումը, նրա լուծումը՝ մոլիբդենը ամոնիակացրային լուծույթի մեջ տեղափոխելու նը-

պատակով, խառնուրդներից այդ լուծույթի գտումը ու լուծույթից ամոնիումի մոլիբդատի բյուրեղների անջատումը:

Ամոնիակաջրում անլուծելի մոլիբդենի սուլ-